

第3回利用研究課題の審査結果について

財団法人高輝度光科学研究センター
利用業務部

1. 課題選定の経緯

第3回共同利用期間の利用研究課題は、本年7月12日に募集が締め切られた。直ちに利用研究課題選定委員会で392件の応募課題について、生命科学、散乱・回折、XAFS、分光、実験技術・方法の5分科会における科学技術的妥当性とSPring-8を利用する必要性の審査と、SPring-8スタッフによる技術的な実施可能性及び安全性の確認が行われ、さらに各ビームラインで利用可能なシフト数に基づき、この期間に実施可能な課題として258件が選定され、シフト数の配分案が作成された。この選定案は9月8日に開催された諮問委員会で承認され、これに基づきJASRIでビームタイムの割り当てが行われ、9月末までに各応募者に通知された。

選定された利用研究課題についての研究は、SPring-8に設置された10本の共用ビームラインと日本原子力研究所用、理化学研究所用、R&D用の各2本のビームラインの計16本を用いて、本年11月から来年6月までの8ヶ月間の第3回共同利用期間に実施される。

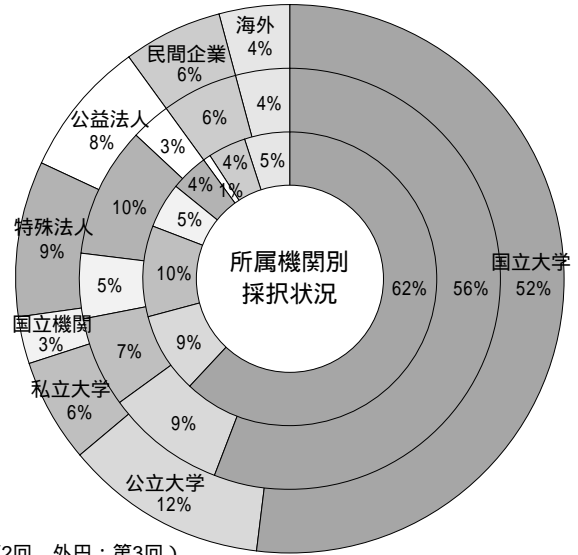
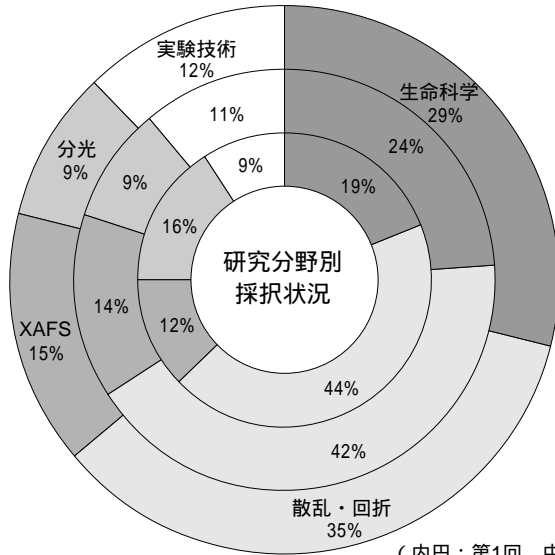
2. 今回の課題選定の特徴

- ・前回から年2回の共同利用期間の区切りを年度から暦年に変更したため、移行期間である前回と今回は利用期間が6ヵ月より長くなっている。
- ・今回配分したシフト数はビームライン16本で合計約2700シフト（前回は15本で約2170シフト）である。なお、募集時点ではR&D用ビームラインはBL47XUの1本のみであったが、利用期間後半に立ち上がる2本目のR&DビームラインBL46XUを利用した方が適当な課題が出てきたため、BL46XUを共同利用に追加した。
- ・採択率は件数で66%、シフト数で41%、1課題当たり平均シフト数は10.5（前回は各々75%、31%、9.1）となった。

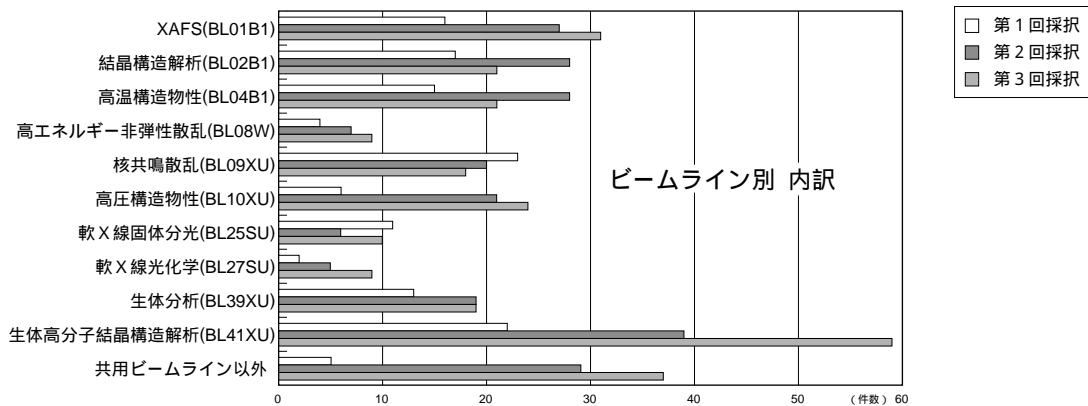
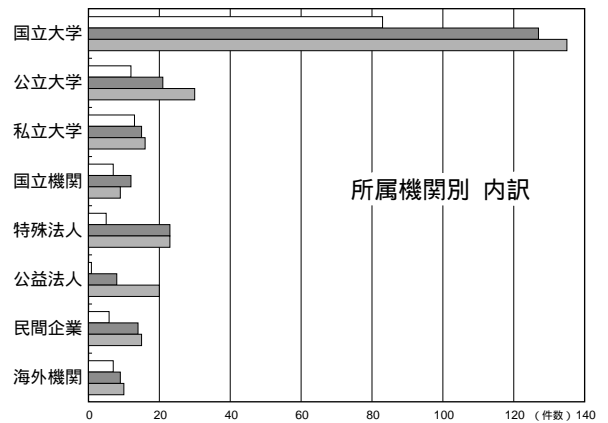
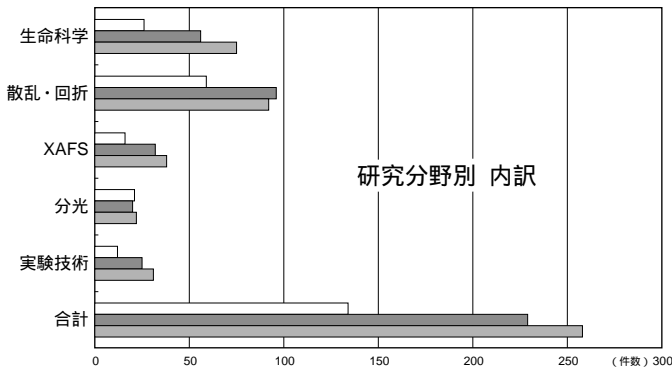
- ・研究分野では、生命科学分野の増加が大きく、この研究を行うための生体高分子結晶構造解析研究用ビームライン（BL41XU）の需要が大きく伸びた。
- ・応募者の所属機関別では、大学関係が約7割を占めることに変わりはないが、公益法人の割合が大きく増加している。これはJASRIの研究者の応募が増加したもので、SPring-8の運営を行っているJASRIといえども、第三者の評価を受けて研究を行うことを原則としているためである。また、前回から増加している特殊法人は原研及び理研の研究者である。なお、民間企業及び海外からの課題の採択率はほぼ前回並であった。（海外は、アメリカ、イタリア、インド、スペイン、台湾、ドイツ、ロシアの7カ国）
- ・採択された258件には、SPring-8において本格的に利用実験を開始する前に、試料の結晶の良否や実験条件をテストするための予備実験や、SPring-8の強力な放射光や先進的な装置の取扱いに習熟してもらうための予備実験が必要と判断され、そのために必要な最小限のシフト数が配分された25件の課題が含まれている。
- ・全体の応募数の27%を占める継続課題の採択率は新規課題より10ポイント高かった。これは今回配分するビームタイムで課題を終了することが期待されたためである。
- ・成果専有（有料利用）の利用課題の応募はなかった。

SPring-8利用研究課題 応募/採択 状況

第1回利用期間：H9.10 ~ H10.3 (応募締切：H9.1.10) 応募数198件、採択数134件
 第2回利用期間：H10.4 ~ H10.10 (応募締切：H10.1.6) 応募数305件、採択数229件
 第3回利用期間：H10.11 ~ H11.6 (応募締切：H10.7.12) 応募数392件、採択数258件



(内円：第1回、中円：第2回、外円：第3回)



利用研究課題公募内訳

第1回利用期間：H9.10～H10.3（応募締切：H9.1.10）
 第2回利用期間：H10.4～H10.10（応募締切：H10.1.6）
 第3回利用期間：H10.11～H11.6（応募締切：H10.7.12）

研究分野別	第3回公募				第2回公募				第1回公募			
	応募数		採択数		応募数		採択数		応募数		採択数	
生命科学	99	25.3%	75	29.1%	78	25.6%	56	24.5%	43	21.7%	26	19.4%
散乱・回折	152	38.8%	92	35.7%	120	39.3%	96	41.9%	89	44.9%	59	44.0%
XAFS	58	14.8%	38	14.7%	50	16.4%	32	14.0%	26	13.1%	16	11.9%
分光	35	8.9%	22	8.5%	25	8.2%	20	8.7%	24	12.1%	21	15.7%
実験技術・方法	48	12.2%	31	12.0%	32	10.5%	25	10.9%	16	8.1%	12	9.0%
計	392		258		305		229		198		134	

所属機関別	第3回公募				第2回公募				第1回公募			
	応募数		採択数		応募数		採択数		応募数		採択数	
国立大学	211	53.8%	135	52.3%	163	53.4%	127	55.5%	121	61.1%	83	61.9%
公立大学	42	10.7%	30	11.6%	28	9.2%	21	9.2%	16	8.1%	12	9.0%
私立大学	25	6.4%	16	6.2%	21	6.9%	15	6.6%	21	10.6%	13	9.7%
国立試験研究機関	15	3.8%	9	3.5%	12	3.9%	12	5.2%	9	4.5%	7	5.2%
特殊法人	31	7.9%	23	8.9%	29	9.5%	23	10.0%	5	2.5%	5	3.7%
公益法人	26	6.6%	20	7.8%	10	3.3%	8	3.5%	2	1.0%	1	0.7%
民間企業	25	6.4%	15	5.8%	21	6.9%	14	6.1%	11	5.6%	6	4.5%
海外	17	4.3%	10	3.9%	21	6.9%	9	3.9%	13	6.6%	7	5.2%
計	392		258		305		229		198		134	

利用ビームライン別		第3回公募				第2回公募				第1回公募			
		応募数		採択数		応募数		採択数		応募数		採択数	
BL01B1	XAFS(X線吸収微細構造)	44	11.2%	31	12.0%	43	14.1%	27	11.8%	23	11.6%	16	11.9%
BL02B1	結晶構造解析	32	8.2%	21	8.1%	32	10.5%	28	12.2%	34	17.2%	17	12.7%
BL04B1	高温構造物性	33	8.4%	21	8.1%	29	9.5%	28	12.2%	15	7.6%	15	11.2%
BL08W	高エネルギー非弾性散乱	15	3.8%	9	3.5%	10	3.3%	7	3.1%	5	2.5%	4	3.0%
BL09XU	核共鳴散乱	42	10.7%	18	7.0%	37	12.1%	20	8.7%	25	12.6%	23	17.2%
BL10XU	高圧構造物性	34	8.7%	24	9.3%	25	8.2%	21	9.2%	16	8.1%	6	4.5%
BL25SU	軟X線固体分光	18	4.6%	10	3.9%	6	2.0%	6	2.6%	12	6.1%	11	8.2%
BL27SU	軟X線光化学	15	3.8%	9	3.5%	6	2.0%	5	2.2%	3	1.5%	2	1.5%
BL39XU	生体分析	35	8.9%	19	7.4%	25	8.2%	19	8.3%	16	8.1%	13	9.7%
BL41XU	生体高分子結晶構造解析	73	18.6%	59	22.9%	60	19.7%	39	17.0%	36	18.2%	22	16.4%
BL14B1	[原研]材料科学	9	2.3%	8	3.1%	4	1.3%	4	1.7%				
BL23SU	[原研]重元素科学	2	0.5%	2	0.8%	2	0.7%	2	0.9%				
BL44B2	[理研]構造生物学Ⅱ	4	1.0%	3	1.2%	10	3.3%	9	3.9%				
BL45XU	[理研]構造生物学Ⅰ	22	5.6%	13	5.0%	9	3.0%	7	3.1%	10	5.1%	5	3.7%
BL46XU	[施設]R&DⅡ	1	0.3%	1	0.4%								
BL47XU	[施設]R&DⅠ	13	3.3%	10	3.9%	7	2.3%	7	3.1%	3	1.5%	0	0.0%
計		392		258		305		229		198		134	

注1：第1回応募数には当初受付分190件に、遅れて到着したインド分8件が含まれている。

注2：第1回採択数には当初ビームタイム配分の128件に、追加配分のインド分2件、及び、期間延長され、第2回利用期間（H10.4～7）にビームタイムを配分されたBL25SUの課題4件が含まれている。

利用研究課題 (第3回共同利用期間: H10.11 ~ H11.6)

課題番号	利用研究課題名	実験責任者	所属	国名	ビームライン	シフト数
1999A0003-NL	-np Structural Determination of Bacteriorhodopsin Intermediates.	Luecke Hartmut	University of California Irvine	USA	BL41XU	6
1999A0004-CD	-np ジルコニア(ZrO2)の高温高压相転移	大高 理	大阪大学	日本	BL04B1	9
1999A0006-ND	-np Ca(OH)2の高温高压下での融解と相転移関係	大高 理	大阪大学	日本	BL14B1	6
1999A0007-NL	-np カテプシン B-非共有結合性阻害剤複合体の結晶構造解析	友尾 幸司	大阪薬科大学	日本	BL41XU	1
1999A0008-NL	-np 完全長ヒト蛋白質合成開始因子eIF-4Eの結晶構造解析	石田 寿昌	大阪薬科大学	日本	BL41XU	2
1999A0013-NL	-np High resolution date collection for colicin E7 and malic enzyme	Yuan Hanna	Institute of Molecular Biology, Academia Sinica	Taiwan, Republic of China	BL41XU	6
1999A0015-CS	-np 微小液滴中超微量金属の化学状態分析	桜井 健次	科学技術庁金属材料技術研究所	日本	BL39XU	12
1999A0016-NM	-np 超微量分析のための湾曲結晶蛍光 X線分光器の開発に関する研究	桜井 健次	科学技術庁金属材料技術研究所	日本	BL39XU	15
1999A0018-NM	-np BL02B1におけるアクセサリーの整備と開発	野田 幸男	東北大学	日本	BL02B1	21
1999A0019-NX	-np MV205化合物のXANES測定による電荷秩序の解明	野田 幸男	東北大学	日本	BL01B1	6
1999A0020-NOM	-np ガス制動放射線およびそれに付随する光核反応中性子の測定	浅野 芳裕	日本原子力研究所 関西研究所	日本	BL46XU	14
1999A0021-NL	-np 蛋白質フォールディング反応のストップフロー X線溶液散乱解析	後藤 祐児	大阪大学	日本	BL45XU	6
1999A0024-ND	-np X線回折によるSIMOXウエハの埋め込み酸化層の構造の研究	志村 考功	大阪大学	日本	BL09XU	9
1999A0025-NL	-np Crystal Structure Analyses of Allergens Der p 5, Blo t 5, and BG60 by MIR-MAD methods.	Liaw Shwu-Huey	National Taiwan University	Taiwan, Republic of China	BL41XU	6
1999A0027-CL	-np 光化学系 I 複合体の X線構造解析	佐藤 和彦	姫路工業大学	日本	BL41XU	4
1999A0028-CL	-np ラット心筋の X線回折実験	菅 弘之	岡山大学	日本	BL45XU	6
1999A0030-NX	-np パラジウムおよび白金カルボニル錯体のXAFS測定による構造解析	市橋 祐一	通商産業省工業技術院大阪工業技術研究所	日本	BL01B1	3
1999A0032-NX	-np Pd超微粒子とCeO2超微粒子相互作用のXAFS研究	松村 安行	通商産業省工業技術院大阪工業技術研究所	日本	BL01B1	3
1999A0034-NL	-np FMN結合タンパク質の高分解能 X線結晶構造解析	柴田 直樹	姫路工業大学	日本	BL41XU	3
1999A0036-CL	-np ビタミンB12と結合するジオルデヒドラーゼの構造研究	森本 幸生	姫路工業大学	日本	BL41XU	2
1999A0037-NL	-np ミトコンドリア膜透過因子(MSF/TOM)の結晶構造解析	森本 幸生	姫路工業大学	日本	BL41XU	1
1999A0041-NL	-np 無負荷短縮中の骨格筋の X線回折実験	八木 直人	財高輝度光科学研究センター	日本	BL45XU	6
1999A0042-CD	-np 固液界面の動的構造解析	伊藤 正時	慶應義塾大学	日本	BL09XU	17
1999A0044-NS	-np 大きなMCDと微弱なMCDの比較による希土類金属・3d遷移金属合金・化合物の磁性の研究	宮原 恒あき	東京都立大学	日本	BL25SU	12
1999A0046-CX	-np ゼオライト担持Pd触媒のXAFSによる構造解析	丹羽 幹	鳥取大学	日本	BL01B1	6
1999A0048-NM	-np 軟 X線回折格子型分光器分解能向上のための調整	石黒 英治	琉球大学	日本	BL27SU	30
1999A0049-NM	-np 高集光光学系の評価と電子材料の加工	石黒 英治	琉球大学	日本	BL27SU	21
1999A0050-ND	-np 含水珪酸塩マンタル鉱物(hydrous ringwoodite)の圧縮率測定	遊佐 斉	科学技術庁 無機材質研究所	日本	BL10XU	3
1999A0052-ND	-np 固体水素の粉末 X線回折	川村 春樹	姫路工業大学	日本	BL10XU	6
1999A0053-ND	-np 低温高温下のルビースケールとNaClスケール	川村 春樹	姫路工業大学	日本	BL10XU	6
1999A0054-ND	-np ベロブスカイト型BaZrS3の高温高压合成	川村 春樹	姫路工業大学	日本	BL14B1	6
1999A0055-ND	-np 外熱式ダイヤモンドアンビルセルを用いたマンタル鉱物のP-V-T状態方程式の研究	永井 隆哉	大阪大学	日本	BL10XU	9
1999A0056-ND	-np 時分割 X線回折実験による石英-コーサイト相転移のカイネティクス研究	永井 隆哉	大阪大学	日本	BL14B1	6
1999A0057-CL	-np G-CSFとG-CSFレセプターの複合体の結晶構造解析	森川 耿右	㈱生物分子工学研究所	日本	BL41XU	1
1999A0058-NM	-np スペクトル測定による8の字アンジュレータ光軸決定法の開発	田中 隆次	財高輝度光科学研究センター	日本	BL27SU	30
1999A0060-ND	-np 反強磁性体の相転移温度近傍における核共鳴散乱特性の研究	三井 隆也	日本原子力研究所 関西研究所	日本	BL09XU	9
1999A0061-NL	-np 大腸菌トリプトファン合成酵素の立体構造に立脚した多機能の解明	安岡 則武	姫路工業大学	日本	BL41XU	1
1999A0062-NM	-np ダイヤモンド移相子によって生成した X線の偏光状態の完全測定	鈴木 基寛	理化学研究所 播磨研究所	日本	BL39XU	4
1999A0064-NL	-np プロスタグランジン D 合成酵素の X線結晶構造解析	酒井 宏明	大阪大学	日本	BL41XU	1
1999A0065-NL	-np 核蛋白質輸送担体変異体の X線結晶構造解析	酒井 宏明	大阪大学	日本	BL41XU	2
1999A0067-CD	-np 強弾性体の一次相転移前駆現象	黒岩 芳弘	岡山大学	日本	BL02B1	12
1999A0070-CD	-np Nd・Fe・B系非晶質合金の超高压下結晶化過程の X線回折によるその場観察	広沢 哲	住友特殊金属株式会社	日本	BL04B1	3
1999A0071-CL	-np 時分割 X線 1分子計測の基礎検討	佐々木裕次	㈱日立製作所・基礎研究所	日本	BL44B2	12
1999A0072-NX	-np XAFS測定によるPMN系薄膜材料の局所構造の研究	安川 勝正	京セラ株式会社	日本	BL01B1	6
1999A0073-CD	-np 高温高压下におけるヒ素カルコゲナイドの半導体 金属転移に伴う構造変化	遠藤 裕久	福井工業大学	日本	BL04B1	9
1999A0074-ND	-np BaTiO3薄膜単結晶の高压下での振舞い	米田 安宏	日本原子力研究所 関西研究所	日本	BL02B1	9
1999A0075-NL	-np D-アミノ酸酸化酵素の X線構造解析	宮原 郁子	大阪市立大学	日本	BL41XU	6
1999A0076-CL	-np 熱安定アスパラギン酸アミノ基転移酵素の X線構造解析	広津 建	大阪市立大学	日本	BL41XU	3
1999A0078-ND	-np Density dependent structural changes in supercritical fluid sulphur	Hosokawa Shinya	Philipps University of Marburg	Germany	BL04B1	12
1999A0079-NOM	-np X線干渉計を用いた高分解能位相コントラストイメージング	百生 敦	㈱日立製作所	日本	BL47XU	9
1999A0080-NOM	-np 分離型 X線干渉計の安定性に関する研究	百生 敦	㈱日立製作所	日本	BL47XU	9
1999A0081-NL	-np 蛋白質によるDNA認識機構の解明: インターフェロン制御因子IRF-2と転写因子Pap1	箱嶋 敏雄	奈良先端科学技術大学院大学	日本	BL41XU	6
1999A0083-CX	-np 金属イオンのXANESスペクトルによるビームライン分解能の評価	田中 庸裕	京都大学	日本	BL01B1	12
1999A0084-NOM	-np SiCおよびダイヤモンド薄膜の作製とエッチング	平井 正明	岡山大学	日本	BL27SU	12
1999A0085-CD	-np 四面体分子結晶の超高压下における結晶・アモルファス構造解析	浜谷 望	お茶の水大学	日本	BL10XU	21
1999A0086-ND	-np 低温高压において超伝導転移異常を示すSn14の結晶構造の探索	浜谷 望	お茶の水大学	日本	BL10XU	18
1999A0087-NS	-np MCD法によるCo/Cu単結晶多層膜の非磁性層分極の結晶配向依存性	水木純一郎	日本原子力研究所 関西研究所	日本	BL39XU	9
1999A0088-CS	-np 多価イオン光吸収実験装置の性能評価実験 - II	大浦 正樹	理化学研究所 播磨研究所	日本	BL23SU	42
1999A0089-CS	-np O, Ne, Xe等原子イオンの光励起・電離実験	山岡 人志	理化学研究所 播磨研究所	日本	BL23SU	18
1999A0090-NM	-np 高エネルギーモノクロメーターの評価実験	山岡 人志	理化学研究所 播磨研究所	日本	BL08W	21
1999A0091-NM	-np 硬 X線マイクロビームの生成・積層型フレネルゾーンプレート	上條 長生	関西医科大学	日本	BL47XU	18
1999A0092-CD	-np 固体酸素高压相の結晶構造解析と分子解離の探索	赤浜 裕一	姫路工業大学	日本	BL10XU	18
1999A0093-CD	-np 固体酸素 高压相の単結晶構造解析	赤浜 裕一	姫路工業大学	日本	BL02B1	12
1999A0094-ND	-np リンの圧力誘起単純立方 単純六方構造相転移の研究	赤浜 裕一	姫路工業大学	日本	BL10XU	9
1999A0096-CL	-np 高電子密度マーカーを用いた蛋白質小規模構造変化の検出の試み	岩本 裕之	財高輝度光科学研究センター	日本	BL45XU	3
1999A0097-NL	-np 筋肉の短縮による不活性化過程の X線時分割測定	岩本 裕之	財高輝度光科学研究センター	日本	BL45XU	3

PRESENT STATUS OF SPring-8

課題番号	利用研究課題名	実験責任者	所属	国名	ビームライン	シフト数
1999A0098-NL	-np 筋肉由来微小試料のX線回折像記録のための予備実験	岩本 裕之	財高輝度光科学研究センター	日本	BL45XU	2
1999A0099-CD	-np 超臨界流体水銀の構造	田村剛三郎	広島大学	日本	BL04B1	18
1999A0101-CD	-np Hydrous -phase 及びhydrous -phaseの状態方程式	井上 徹	愛媛大学	日本	BL04B1	15
1999A0102-CD	-np (Mg _{0.9} ,Fe _{0.1}) ₂ SiO ₄ オリソンのスピネル ポストスピネル相転移境界の精密決定	入船 徹男	愛媛大学	日本	BL04B1	21
1999A0105-NM	-np 光源サイズの測定	山崎 裕史	財高輝度光科学研究センター	日本	BL47XU	1
1999A0107-NL	-np ADPによるミオシン頭部の構造変化	堀内 桂輔	大分医科大学	日本	BL45XU	6
1999A0108-NX	-np ゼルゲル法PZT厚膜結晶化過程におけるPbの挙動の局所構造解析	石井 真史	財高輝度光科学研究センター	日本	BL10XU	1
1999A0110-NS	-np 鉄を含むLaves相化合物の磁気円二色性	水牧仁一朗	財高輝度光科学研究センター	日本	BL25SU	9
1999A0111-NL	-np ヒトVHRと抗生物質RKの複合体のX線結晶構造解析	河本 正秀	財高輝度光科学研究センター	日本	BL41XU	2
1999A0112-NS	-np Cauchois 型高分解能コンプトンスペクトロメータの性能評価実験	櫻井 吉晴	財高輝度光科学研究センター	日本	BL08W	42
1999A0113-NX	-np X線定在波XAFS法による周期多層膜の局所構造解析	宇留賀朋哉	財高輝度光科学研究センター	日本	BL10XU	18
1999A0117-NX	-np EXAFSによる化合物半導体AlGaAs中の不純物の原子構造の研究	財部 健一	岡山理科大学	日本	BL10XU	3
1999A0119-ND	-np V族、III-V族高圧金属相の電荷密度分布の測定	財部 健一	岡山理科大学	日本	BL10XU	12
1999A0120-ND	-np 二次元三角格子複酸化物RFe ₂ O ₄ の副格子電荷構造	池田 直	財高輝度光科学研究センター	日本	BL02B1	3
1999A0122-ND	-np 液体リンの高圧下での構造	水谷 剛	日本原子力研究所 関西研究所	日本	BL04B1	12
1999A0123-CM	-np 高温高圧下における液体セレンの密度	片山 芳則	日本原子力研究所 関西研究所	日本	BL10XU	9
1999A0124-NM	-np レーザ加熱ダイヤモンドアンビルシステムの立ち上げ	片山 芳則	日本原子力研究所 関西研究所	日本	BL10XU	18
1999A0125-NX	-np 高温高圧下における液体セレンのXAFS	片山 芳則	日本原子力研究所 関西研究所	日本	BL01B1	9
1999A0127-NM	-np 大強度X線ビームに対する強度モニターとしてのシリコンPNフォトダイオードの実用性及びXAFS実験への応用	佐藤 一道	理化学研究所 播磨研究所	日本	BL01B1	6
1999A0129-NL	-np 光活性化したニトリルヒドラーゼのX線結晶構造解析	神谷 信夫	理化学研究所 播磨研究所	日本	BL41XU	6
1999A0131-NL	-np BL41XUにおけるビームライン自動調整法の確立	神谷 信夫	理化学研究所 播磨研究所	日本	BL41XU	1
1999A0132-NL	-np MIROAS自動回折計におけるIP自動読み取り系の調整	神谷 信夫	理化学研究所 播磨研究所	日本	BL41XU	1
1999A0133-NL	-np タンパク質結晶構造解析における高エネルギーX線の有効性	神谷 信夫	理化学研究所 播磨研究所	日本	BL41XU	12
1999A0134-ND	-np 高温高圧下における黒鉛ダイヤモンド直接変換のその場観察	内海 渉	日本原子力研究所 関西研究所	日本	BL04B1	15
1999A0135-ND	-np SiO ₂ の圧力誘起アモルファス化のその場観察	内海 渉	日本原子力研究所 関西研究所	日本	BL04B1	3
1999A0136-CD	-np 高圧下におけるシリカおよび2元系アルカリケイ酸塩ガラス/メルトのX線構造解析	舟越 賢一	財高輝度光科学研究センター	日本	BL14B1	9
1999A0137-ND	-np 高圧下における玄武岩質マグマの粘度	舟越 賢一	財高輝度光科学研究センター	日本	BL04B1	12
1999A0138-NL	-np 酸素発生光化学系II膜蛋白質複合体の結晶構造解析	沈 建 仁	理化学研究所 播磨研究所	日本	BL41XU	4
1999A0139-CD	-np MEM法によるCsの圧力誘起s-d転移に関する電子密度分布状態の解析	大石 泰生	財高輝度光科学研究センター	日本	BL10XU	15
1999A0140-NM	-np BL10XUにおけるX線屈折レンズ型集光光学系の導入	大石 泰生	財高輝度光科学研究センター	日本	BL10XU	9
1999A0141-CD	-np 90度磁気コンプトンプロファイル測定法	坂井 信彦	姫路工業大学	日本	BL08W	15
1999A0142-NS	-np Gd/Feスパッタ多層膜におけるXMCD磁気ヒステリシスのFe膜厚依存性	坂井 信彦	姫路工業大学	日本	BL39XU	12
1999A0143-NS	-np 磁気コンプトンプロファイル法による3d-4f系アモルファス磁性合金の複合磁気モーメントの分離	坂井 信彦	姫路工業大学	日本	BL08W	24
1999A0144-ND	-np ボルマン効果を伴うコンプトン反跳電子と同期させたコンプトンプロファイルの測定	坂井 信彦	姫路工業大学	日本	BL08W	12
1999A0145-NS	-np 磁気転移点前後での磁性電子運動量分布の変化の検証,	坂井 信彦	姫路工業大学	日本	BL08W	30
1999A0147-CM	-np X線屈折レンズ(加圧型泡レンズ等)の評価	香村 芳樹	理化学研究所 播磨研究所	日本	BL47XU	18
1999A0148-NL	-np チトクロムbc1複合体の高分解能X線結晶構造解析	伊藤 恭子	姫路工業大学	日本	BL41XU	9
1999A0149-NL	-np 呼吸阻害剤結合型ウシ心筋チトクロム酸化酵素のX線結晶構造解析	村本 和優	姫路工業大学	日本	BL41XU	6
1999A0150-NOX	-np μ-XANESによる隕石鉱物に含まれる極微量遷移金属元素の存在状態の解析	中井 泉	東京理科大学	日本	BL39XU	9
1999A0153-ND	-np フォブリーペロー型X線干渉計の開発	菊田 惺志	財高輝度光科学研究センター	日本	BL09XU	18
1999A0154-ND	-np X線領域における強度相関実験	菊田 惺志	財高輝度光科学研究センター	日本	BL09XU	18
1999A0155-ND	-np X線パラメトリック散乱の研究	依田 芳卓	東京大学	日本	BL09XU	14
1999A0158-CX	-np アルカリハライド薄膜単結晶の局所的格子構造のXAFSによる研究	村田 隆紀	京都教育大学	日本	BL01B1	12
1999A0160-NL	-np 脱ハロゲン化酵素の各反応段階のX線結晶構造解析	藤井 知実	京都大学	日本	BL41XU	3
1999A0166-ND	-np AO2相のルチル型からCaCl ₂ 型への相転移圧力の精密決定	伊藤 英司	岡山大学	日本	BL04B1	15
1999A0168-NX	-np 電荷整列を起こすLa ₂ NiO ₄ .125のXAFS	李 哲 虎	電子技術総合研究所	日本	BL10XU	6
1999A0169-CD	-np IPを用いた時間分解強度測定による光励起単結晶構造解析法の開発	小澤 芳樹	姫路工業大学	日本	BL02B1	12
1999A0170-NL	-np 好熱性放線菌R-47由来 -アミラーゼの分子・結晶構造	神鳥 成弘	東京農工大学	日本	BL41XU	3
1999A0171-CD	-np X線共鳴発光分光測定と偏光解析	圓山 裕	岡山大学	日本	BL39XU	27
1999A0172-NS	-np XMCDにおけるスペックルパターンの観測とフラクタル解析	圓山 裕	岡山大学	日本	BL39XU	9
1999A0173-NS	-np 強磁性Mn化合物におけるMn K-吸収端の偏光変調XMCD	圓山 裕	岡山大学	日本	BL39XU	9
1999A0175-NL	-np 膜蛋白質超薄膜三次元結晶のX線構造解析	豊島 近	東京大学	日本	BL41XU	6
1999A0176-ND	-np マイクロピンホールを用いた微小領域X線回折法の開発	大政 正明	姫路工業大学	日本	BL47XU	5
1999A0178-CD	-np SXS法を用いた異種金属電析過程のin situ構造追跡	魚崎 浩平	北海道大学	日本	BL14B1	12
1999A0182-NX	-np XAFSによる強誘電体(Ba,Sr)TiO ₃ 薄膜の研究	木村 英和	日本電気株式会社	日本	BL01B1	9
1999A0183-ND	-np 有機薄膜の蛍光X線ホログラフィー	林 好一	京都大学	日本	BL39XU	15
1999A0186-NL	-np Native Thin Filament 及びF-actin配向ゾルのX線繊維回折	前田雄一郎	松下電器産業(株)	日本	BL45XU	3
1999A0187-NX	-np XAFSによる構造材料のさび形成に及ぼす重金属元素(Pb等)の作用機構に関する研究	中山 武典	(株)神戸製鋼所	日本	BL01B1	3
1999A0188-ND	-np X線磁気回折によるフェリ磁性ガーネット(R ₃ Fe ₅ O ₁₂ , R=Y, Gd, Ho)のスピンの並びおよび軌道磁気モーメントの温度変化	伊藤 正久	姫路工業大学	日本	BL39XU	24
1999A0189-ND	-np 核共鳴非弾性励起による低次元性物質における振動状態の研究	瀬戸 誠	京都大学	日本	BL09XU	14
1999A0192-ND	-np 鉄貯蔵蛋白質フェリチンの核共鳴弾性・非弾性散乱による研究	前田 豊	京都大学	日本	BL09XU	9
1999A0193-ND	-np ヘマタイト高圧相の粉末構造解析	那須 三郎	大阪大学	日本	BL10XU	9
1999A0196-ND	-np TCNQラジカルアニオン塩複合体の微小結晶のX線構造解析	甲斐 泰	大阪大学	日本	BL02B1	6
1999A0197-NL	-np トウモロコシ由来ホスホエノールビルビン酸カルボキシラーゼの構造解析のためのネイティブデータ測定	甲斐 泰	大阪大学	日本	BL41XU	5
1999A0202-CD	-np X線回折散乱法による表面・界面構造研究	高橋 敏男	東京大学	日本	BL09XU	17

課題番号	利用研究課題名	実験責任者	所属	国名	ビームライン	シフト数
1999A0203-CD	-np X線CTR散乱における多波回折効果	高橋 敏男	東京大学	日本	BL09XU	17
1999A0205-ND	-np 高エネルギー・高分解能X線を用いたMg ₂ SiO ₄ 粉末の結晶構造解析	虎谷 秀穂	名古屋工業大学	日本	BL02B1	9
1999A0206-NL	-np 放線菌由来 -アミラーゼの結晶構造解析	山根 隆	名古屋大学	日本	BL41XU	3
1999A0207-NL	-np バクテリオロドプシンの反応中間状態の低温X線結晶構造解析	神山 勉	名古屋大学	日本	BL41XU	9
1999A0208-NL	-np 時間分解ラウエ法によるバクテリオロドプシンの反応中間状態のX線結晶構造解析	神山 勉	名古屋大学	日本	BL44B2	12
1999A0209-CM	-np 軟X線光化学用リフレクトロン型質量分析計の調整と高性能化	小谷野猪之助	姫路工業大学	日本	BL27SU	21
1999A0210-CL	-np 一連の変異型ヒト・リゾチームX線結晶構造解析	油谷 克英	大阪大学	日本	BL41XU	2
1999A0211-CD	-np Ni基単結晶合金のガンマ/ガンマブライム相格子定数の精密測定	佐近 淑郎	三菱重工業株式会社	日本	BL02B1	12
1999A0212-CL	-np ウシ心筋チトクロム酸化酵素の高分解能X線結晶構造解析	月原 富武	大阪大学	日本	BL41XU	15
1999A0214-CD	-np ハロゲン架橋一次元金属錯体の微小結晶構造解析および光誘起構造変化の研究	鳥海幸四郎	姫路工業大学	日本	BL02B1	15
1999A0216-CL	-np ヒト高親和性IgEレセプタータンパク質の結晶構造解析	西田 洋一	(株)日立製作所	日本	BL41XU	5
1999A0217-NL	-np 大腸菌ニトロ還元酵素NfsAのX線結晶構造解析	田之倉 優	東京大学生物生産工学研究センター	日本	BL41XU	4
1999A0218-ND	-np パイロプガーネット ベロプスカイト+コランダム相転移境界の決定~新たな圧力較正点の開発	廣瀬 敬	東京工業大学	日本	BL04B1	6
1999A0219-NL	-np 変異アクチンのX線結晶構造解析	若林 健之	東京大学	日本	BL41XU	3
1999A0220-NM	-np Wolterミラーを用いた蛍光X線イメージングによる3D元素分析	渡辺 紀生	筑波大学	日本	BL39XU	15
1999A0221-NX	-np AgI系超イオン伝導性ハロゲン化物ガラスにおけるEXAFSの温度変化	蔭山 博之	通商産業省工業技術院大阪工業技術研究所	日本	BL01B1	6
1999A0222-CL	-np 細菌べん毛構成タンパク質HAP2とフラジリン4k(F4k)フラグメントのX線結晶構造解析	今田 勝巳	科学技術振興事業団	日本	BL41XU	5
1999A0223-CL	-np 細菌べん毛フィラメントのX線繊維回折法による構造解析	難波 啓一	松下電器産業(株)	日本	BL41XU	5
1999A0226-CX	-np ゼオライト中の銀の局所構造変化のXAFSによる研究	阪根 英人	山梨大学	日本	BL01B1	12
1999A0227-ND	-np サイトを特定した核共鳴非弾性散乱の研究	瀬戸 誠	京都大学	日本	BL09XU	17
1999A0232-NL	-np キメラバクテリオロドプシンの構造と光反応	片岡 幹雄	奈良先端科学技術大学院大学	日本	BL45XU	4
1999A0233-ND	-np 異常分散X線回折法によるAg/Si界面構造の解析	秋本 晃一	名古屋大学	日本	BL09XU	15
1999A0234-CD	-np La _{2-x} Sr _x CuO ₄ (x=1/8)の電荷秩序化と格子歪	野田 幸男	東北大学	日本	BL02B1	15
1999A0235-ND	-np (P(CH ₃) ₄) ₂ CoBr ₄ の相転移に伴う臨界散漫散乱と相転移機構	野田 幸男	東北大学	日本	BL02B1	12
1999A0236-NM	-np 酸化物薄膜の作製とエッチング	清水 勝	姫路工業大学	日本	BL27SU	18
1999A0238-ND	-np インビーム・メス/パワ分光法による金属・半導体中の不純物高速拡散の研究	吉田 豊	静岡理工科大学	日本	BL09XU	9
1999A0239-NS	-np 希土類/FeおよびCo/FeB磁性薄膜におけるアモルファスFeの磁性の研究	藤原 裕司	三重大学	日本	BL25SU	6
1999A0240-NL	-np 抗体Fvフラグメントの原子分解能での低温結晶構造解析	中迫 雅由	東京大学	日本	BL41XU	5
1999A0241-NL	-np ヒドロゲナーゼの水素還元型結晶の高分解能結晶構造解析	樋口 芳樹	京都大学	日本	BL41XU	4
1999A0242-NL	-np 蛋白質の熱安定性解明のための好熱性酵素のX線結晶解析	濱田 賢作	島根大学	日本	BL41XU	2
1999A0243-NM	-np 岩石鉱物におけるX線CT装置の開発	土山 明	大阪大学	日本	BL47XU	6
1999A0244-NM	-np Diffraction focusing elements for energys higher than 10 keV.	Firsov Alexandre	IPMT RAS	Russia	BL47XU	3
1999A0245-NL	-np Structure of Human Low Density Lipoproteins	Baumstark Manfred	University Freiburg	Germany	BL41XU	6
1999A0246-CX	-np 水溶液表面の全反射XAFS	渡辺 巖	大阪大学	日本	BL01B1	18
1999A0247-NM	-np 溶液表面の偏光XAFS解析法の開発	渡辺 巖	大阪大学	日本	BL39XU	18
1999A0248-CL	-np 放射菌由来ホスホリパーゼDの結晶構造と機能の解析	山根 隆	名古屋大学	日本	BL41XU	2
1999A0249-ND	-np 圧力ジャンプによるポリマーアロイのダイナミクスに関する研究	竹中 幹人	京都大学	日本	BL45XU	6
1999A0250-CS	-np 円偏光電子回折	大門 寛	奈良先端科学技術大学院大学	日本	BL25SU	78
1999A0253-NS	-np 花虫綱サンゴの石灰硬組織の微量元素分析	芳賀 信彦	姫路工業大学	日本	BL39XU	6
1999A0254-ND	-np プロセスを経たSiチップの応力評価	森 由爾	(株)東レリサーチセンター	日本	BL02B1	6
1999A0256-NL	-np 光捕集クロロフィル蛋白質複合体のX線結晶構造解析	神山 勉	名古屋大学	日本	BL41XU	3
1999A0257-NL	-np バクテリオロドプシン変異体の結晶構造解析	神山 勉	名古屋大学	日本	BL41XU	3
1999A0258-NX	-np 光変調XAFS法の開発	太田 俊明	東京大学	日本	BL01B1	18
1999A0259-ND	-np 高圧下に於けるNiOの結晶構造の決定	江藤徹二郎	大阪大学極限科学研究センター	日本	BL10XU	6
1999A0260-CD	-np X線定在波法による「電極/固体電解質ジルコニア」界面の構造解析	齋藤 彰	大阪大学	日本	BL09XU	15
1999A0261-NX	-np ホイスラー化合物窒化物の局所構造	栗栖 牧生	北陸先端科学技術大学院大学	日本	BL01B1	9
1999A0262-CL	-np X線結晶解析によるDNA複製制御タンパク質の構造 機能に関する研究	三木 邦夫	京都大学	日本	BL41XU	3
1999A0263-NL	-np 好熱性光合成反応中心の高分解能結晶構造による膜タンパク質熱安定化機構	三木 邦夫	京都大学	日本	BL41XU	4
1999A0264-ND	-np 反強誘電性液晶化合物の微小結晶による構造解析	奥山 健二	東京農工大学	日本	BL02B1	6
1999A0266-CSD	-np APD電子検出器による ¹⁹⁷ Au核励起現象の観測	岸本 俊二	高エネルギー加速器研究機構	日本	BL09XU	18
1999A0267-NMD	-np 多素子APDを用いたX線時間検出器の開発	岸本 俊二	高エネルギー加速器研究機構	日本	BL09XU	12
1999A0268-NL	-np ニホンナシS-RNaseのX線結晶構造解析	乗岡 茂巳	大阪大学	日本	BL41XU	2
1999A0269-CL	-np ウシロドプシンの結晶構造解析	岡田 哲二	名古屋大学	日本	BL41XU	1
1999A0270-NL	-np 超高度高熱菌Aeropyrum pernix 由来ホーミング・エンドヌクレアーゼApelのX線結晶構造解析	田中 勲	北海道大学	日本	BL41XU	2
1999A0271-CD	-np Drickamer型高圧発生装置と放射光を組み合わせた高温高圧実験システムの開発	八木 健彦	東京大学	日本	BL14B1	12
1999A0272-CD	-np グロシユラ(Ca ₃ Al ₂ Si ₃ O ₁₂)の高圧相平衡関係の解明	八木 健彦	東京大学	日本	BL04B1	9
1999A0273-NOM	-np 放射光励起による電子材料の作製と評価	奥山 雅則	大阪大学	日本	BL27SU	18
1999A0274-NM	-np 軟X線CVD実験ステーションの調整	奥山 雅則	大阪大学	日本	BL27SU	21
1999A0280-NX	-np 磁気XAFSによるNi-Mn合金の局所的磁気構造の研究	宮永 崇史	弘前大学	日本	BL39XU	9
1999A0281-NX	-np Ln K吸収端EXAFSによるランタノイド錯体の局所構造の研究	宮永 崇史	弘前大学	日本	BL01B1	9
1999A0282-ND	-np コンプトン散乱の磁場・温度依存によるLa _{0.88} Sr _{0.12} MnO ₃ の軌道秩序現象の研究	小泉 昭久	姫路工業大学	日本	BL08W	30
1999A0285-CL	-np DNA修復酵素のX線結晶解析	福山 恵一	大阪大学	日本	BL41XU	6
1999A0287-NX	-np XAFSによる低担持量Irの局所構造解析	久保田岳志	島根大学	日本	BL01B1	6
1999A0289-NL	-np 特定のタンパク分子を取り除いたスキンドファイバーのX線回折実験	竹森 重	東京慈恵会医科大学	日本	BL45XU	6
1999A0293-CD	-np Mg ₂ SiO ₄ -Fe ₂ SiO ₄ 系におけるスピネルからペロプスカイト+ベリクレスへの分解反応の精密決定	桂 智男	岡山大学	日本	BL04B1	15
1999A0294-ND	-np 高圧SiO ₂ メルトの粘性係数測定	神崎 正美	岡山大学	日本	BL04B1	12

PRESENT STATUS OF SPring-8

課題番号	利用研究課題名	実験責任者	所 属	国 名	ビームライン	シフト数
1999A0296-CD	-np A2Bx4型強誘電体の集片双晶相の結晶構造解析	重松 宏武	名古屋大学	日本	BL02B1	12
1999A0297-ND	-np 10万気圧における硫化鉄メルトの構造	浦川 啓	岡山大学	日本	BL04B1	12
1999A0299-CD	-np 高エネルギー X線を用いたK3H(SO4)2結晶の精密結晶構造解析	笠谷 祐史	静岡理科大学	日本	BL02B1	12
1999A0300-CX	-np 硬質磁性材料Sm2Fe17Nxの局所構造と磁性特性	笠谷 祐史	静岡理科大学	日本	BL01B1	6
1999A0301-NX	-np 転換電子収量法による溶融塩腐食金属表面のXAFS分析	柳瀬 悦也	財新産業創造研究機構	日本	BL01B1	6
1999A0302-NS	-np Fe基D03型規則合金のL2,3吸収端領域の磁気円二色性	曾田 一雄	名古屋大学	日本	BL25SU	18
1999A0303-ND	-np 酸化物超伝導体YBa2Cu4O8の高圧下でのMEMによる電子密度レベルでの構造研究	高田 昌樹	島根大学	日本	BL10XU	18
1999A0304-NX	-np Ag-In-Sb-Te系合金構造変化にともなう非晶質相の解析	谷 克彦	伶俐コー	日本	BL01B1	6
1999A0308-NX	-np XAFS測定による蛍石型混合導電性酸化物の結晶構造解析	内本 喜晴	京都大学	日本	BL01B1	12
1999A0309-NX	-np イオン注入法により調整した可視光で機能する酸化チタン系触媒のXAFS研究	安保 正一	大阪府立大学	日本	BL01B1	6
1999A0311-ND	-np ダイヤモンドの圧縮挙動	小野寺昭史	大阪大学	日本	BL10XU	12
1999A0312-NS	-np SPLEED装置を用いたMn合金のスピン偏極光電子分光	菅 滋正	大阪大学	日本	BL25SU	12
1999A0315-NS	-np 重い電子系Ce化合物の高分解能共鳴光電子分光と温度変化	関山 明	大阪大学	日本	BL25SU	21
1999A0318-NS	-np 強磁性ホイスラー合金NiMnGa, Co2NbSnの内殻磁気円二色性	今田 真	大阪大学	日本	BL25SU	12
1999A0319-NS	-np Experimental investigation of magnetic microstructures in ultrathin layered systems (磁性超薄膜ナノ構造の分光研究)	Kirschner J	Max-Planck-Institute of Microstructure Physics	Germany	BL25SU	63
1999A0320-CM	-np 原子・分子の共鳴オージェ電子分光装置の高性能化	鈴木 功	電子技術総合研究所	日本	BL27SU	18
1999A0321-CL	-np マウス、ラット、肺癌摘出標本による屈折コントラストイメージング	山崎 克人	神戸大学	日本	BL47XU	6
1999A0323-ND	-np Py50Mj50-ガーネットの高圧レオロジー特性に与える水の影響	安東 淳一	広島大学	日本	BL04B1	12
1999A0324-CL	-np DHFR変異体のX線解析からみた蛋白質分子の揺らぎ	片柳 克夫	広島大学	日本	BL41XU	3
1999A0326-NX	-np 深海棲生物に濃集されたカドミウムや亜鉛の非破壊状態分析	沼子 千弥	徳島大学	日本	BL01B1	6
1999A0327-NXSS	-np 真珠の形成に關与する微量金属元素の蛍光X線分析	沼子 千弥	徳島大学	日本	BL39XU	6
1999A0328-CL	-np ヘモグロビンの構造変化のX線結晶解析	森本 英樹	大阪大学	日本	BL44B2	12
1999A0329-CL	-np 脊椎動物ヘモグロビンの形成過程のX線結晶解析	森本 英樹	大阪大学	日本	BL41XU	2
1999A0330-CD	-np 液体カルコゲンの構造の圧力変化	辻 和彦	慶應義塾大学	日本	BL04B1	15
1999A0331-NM	-np 角度分散法による高圧下における液体構造の研究	辻 和彦	慶應義塾大学	日本	BL14B1	6
1999A0333-NS	-np MCDおよび共鳴光電子分光法による強磁性La4Ba2Cu2O10の電子構造に関する研究	竹内 恒博	名古屋大学	日本	BL25SU	12
1999A0334-ND	-np 放射光と真空カメラによる希土類錯体の電子密度分布の測定	田中 清明	名古屋工業大学	日本	BL02B1	9
1999A0335-NOM	-np 蛍光ガラス線量計 (GD) のエネルギー特性	田伏 勝義	名古屋大学	日本	BL01B1	3
1999A0336-NL	-np Bacillus circulans由来キチナーゼA1活性ドメインの高分解能X線結晶構造解析	野中 孝昌	長岡技術科学大学	日本	BL41XU	2
1999A0337-NL	-np 放線菌由来セリンプロテアーゼ(SAM=P45)のX線結晶構造解析	野中 孝昌	長岡技術科学大学	日本	BL41XU	3
1999A0338-NX	-np 中、高エネルギー領域におけるエネルギー較正並びに標準物質の探索	江村 修一	大阪大学	日本	BL01B1	12
1999A0339-CL	-np ショウジョウバエ工性決定因子SxlとターゲットRNAの複合体のX線結晶構造解析	濡木 理	東京大学	日本	BL41XU	3
1999A0340-CL	-np パリルRNA合成酵素、tRNAValおよびVal-AMPの3重複合体のX線結晶構造解析	濡木 理	東京大学	日本	BL41XU	18
1999A0341-NL	-np 創薬をめざしたアミノアシルRNA合成酵素と抗生物質の複合体のX線結晶構造解析	濡木 理	東京大学	日本	BL41XU	3
1999A0342-NL	-np 高度好熱菌由来アルギニルRNA合成酵素と基質との複合体のX線結晶構造解析	濡木 理	東京大学	日本	BL41XU	3
1999A0344-NM	-np A Refractive Collimator For Synchrotron Radiation	Baron Alfred	JASRI	Japan	BL47XU	18
1999A0345-CX	-np 酸化物ガラス中のNd3+イオンのK-吸収端EXAFSによる局所構造の測定	山口 博隆	電子技術総合研究所	日本	BL01B1	6
1999A0346-CD	-np Photoactive Yellow Protein (PYP)の変異体を用いた溶液構造の安定性と光による構造変化	徳永 史生	大阪大学	日本	BL45XU	3
1999A0347-CL	-np 時分割X線回折測定による光駆動プロトンポンプ(バクテリオロドプシン)の機能発現過程で生じる構造変化の実時間測定	徳永 史生	大阪大学	日本	BL45XU	6
1999A0349-CD	-np 高圧下のカルコゲンの構造	永田 潔文	福岡大学	日本	BL10XU	6
1999A0350-ND	-np 高圧下における準安定なカンラン石のスピン相およびMgOとペロブスカイト相への相転移カイネティクスの研究	大谷 栄治	東北大学	日本	BL04B1	15
1999A0351-ND	-np DyCo5およびSmFe2の磁気コンプトン散乱	七尾 進	東京大学	日本	BL08W	40
1999A0353-CX	-np 転換電子および蛍光収量XAFS法による新しい赤色蛍光体(La1-xEux)2O2CN2のEu周囲の局所構造	高橋 昌男	大阪大学	日本	BL01B1	12
1999A0356-ND	-np 下部マントル条件におけるMg-ペロブスカイトとCa-ペロブスカイトの固溶関係	藤野 清志	北海道大学	日本	BL10XU	3
1999A0358-NX	-np DOTAとランタノイド(III)イオンの錯形成過程におけるXAFS解析	脇田 久伸	福岡大学	日本	BL01B1	6
1999A0363-NM	-np 波長分散型蛍光X線分光計を用いる微量元素の超高感度分析	早川慎二郎	東京大学	日本	BL39XU	15
1999A0364-NX	-np XAFS測定による半導体用高誘電体膜の局所構造解析	竹村モモ子	憐東芝	日本	BL01B1	6
1999A0365-ND	-np Er薄膜の結晶構造、磁気構造の温度依存性	田中 良和	理化学研究所播磨研究所	日本	BL02B1	15
1999A0367-NX	-np Polarized XAFS Studies of Local Lattice Distortions and Charge Ordering (偏光XAFSによる局所構造歪みと電荷秩序に関する研究)	Saini Naurang	Universita di Roma "La Sapienza"	Italy	BL10XU	6
1999A0368-CD	-np 高温における液体IIIb-Te混合系の構造	武田 信一	九州大学	日本	BL04B1	6
1999A0369-ND	-np 含遷移元素ペロブスカイトの荷電子密度分布の高圧状態での圧力変化	山中 高光	大阪大学	日本	BL02B1	15
1999A0371-CD	-np Magnetic Compton Profiles of CeFe2 and CeRu2 based compounds: Phase I	Sharma B	University of Rajasthan	India	BL08W	30
1999A0376-ND	-np マキシムアントロピエ法のための粉末回折法の開発	坂田 誠	名古屋大学	日本	BL02B1	12
1999A0377-NL	-np ウシ肝臓由来20Sプロテアソームの2.5 分解能X線結晶構造解析	山下 栄樹	大阪大学	日本	BL41XU	6
1999A0378-ND	-np リラクサー長距離秩序型 Pb(Sc1/2 Nb1/2)O3における強誘電相と反強誘電相の相関長の温度依存	武末 尚久	東京大学	日本	BL02B1	9
1999A0382-CX	-np 固相拡散反応によるY-Ni系の相変態	中井 生央	鳥取大学	日本	BL01B1	12
1999A0386-NSD	-np 57Fe微粒子による核共鳴非弾性散乱	小山 一郎	高エネルギー加速器研究機構	日本	BL09XU	9
1999A0388-NX	-np XMCD Study in Rare-Earth Transition-Metal Intermetallics near Compensation Temperature	Chaboy Jesus	CSIC-Universidad de Zaragoza	Spain	BL39XU	15
1999A0389-CSD	-np 表面単原子層からの内部転換電子放射の測定	岡野 達雄	東京大学	日本	BL09XU	12
1999A0390-CL	-np SRマイクロビームを用いた細胞中金属イオン分布に関する研究	エケテパリ	京都大学	日本	BL39XU	9
1999A0391-NX	-np 超伝導層状銅酸化物結晶内のホールの層間分布に関するXAFSによる探見	山内 尚雄	東京工業大学	日本	BL14B1	6